



بررسی اثر نانوپودر آلومینا بر روی مقاومت به شوک حرارتی نانوکامپوزیت آلومینا- مولایت

داود قهرمانی^{*}, ^{۲۱} تورج عبادزاده^۲ و هادی بروزگر بفروئی^۳

- ۱- دانشگاه آزاد اسلامی، واحد میبد، گروه سرامیک، میبد، ایران
- ۲- پژوهشکده سرامیک، پژوهشگاه مواد و انرژی، کرج
- ۳- دانشگاه تربیت مدرس تهران، گروه مهندسی مواد

تاریخ ثبت اولیه: ۱۳۹۰/۱۰/۱۵، تاریخ دریافت نسخه اصلاح شده: ۱۳۹۱/۰۱/۱۵، تاریخ پذیرش قطعی: ۱۳۹۱/۰۲/۱۲

چکیده

در تحقیق حاضر، تهیه کامپوزیت آلومینا- مولایت در شرایط دمایی و زمانی بهینه، با استفاده از نانوآلومینا مورد بررسی قرار گرفت. با اضافه کردن نانوآلومینا در مقایسه با آلومینای میکرونی به کامپوزیت‌های آلومینا- مولایت استحکام مکانیکی و شوک‌پذیری حرارتی افزایش یافت. همچنین با افزایش آلومینای میکرونی به بدنه‌های آلومینا- مولایتی ضریب انبساط حرارتی بدنه افزایش ولی با افزایش نانوآلومینا ضریب انبساط حرارتی کاهش پیدا کرد. تصاویر میکروسکوپ الکترونی روبیشی و آنالیز کیفی نقطه‌ای نشان داد که با افزایش نانوآلومینا مقدار فاز مولایت افزایش یافت که باعث بهبود شوک‌پذیری حرارتی و در نتیجه استحکام بعد از شوک حرارتی شد. با افزایش آلومینای میکرونی به کامپوزیت‌های آلومینا- مولایت، درصد تخلخل و درصد جذب آب افزایش و دانسیته کاهش یافت در حالیکه با افزایش نانوآلومینا درصد تخلخل باز و درصد جذب آب کاهش و دانسیته افزایش یافت.

واژه‌های کلیدی: مولایت، نانوپودر آلومینا، شوک‌پذیری حرارتی، ضریب انبساط حرارتی، استحکام.

پارامترها صورت گرفته است. مولایت از واکنش استوکیومتری آلومینا و سیلیس مطابق با رابطه ۱ تشکیل می‌شود:



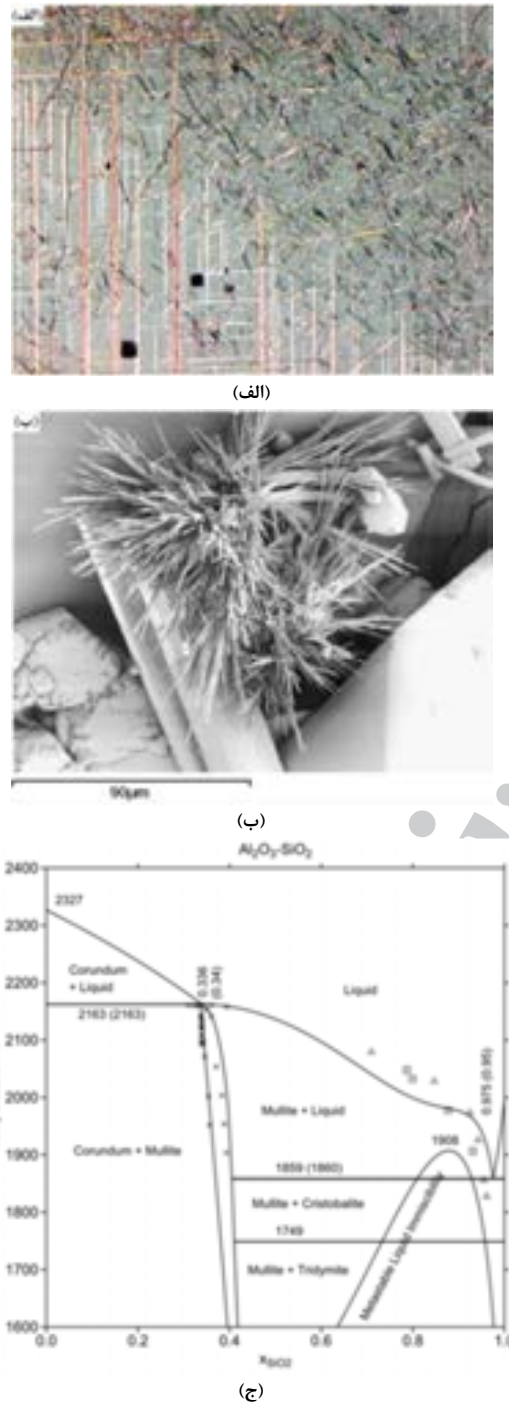
در سال‌های اخیر استفاده از کامپوزیت آلومینا- مولایت در صنایع دیرگداز به علت استحکام و طول عمر آن اهمیت زیادی پیدا کرده است.

۱- مقدمه

مولایت یکی از فازهای کریستالی در سیستم دو جزئی (شکل ۱) $\text{Al}_2\text{O}_3\text{-SiO}_2$ است که در چند دهه گذشته به علت ضریب انبساط حرارتی کم، هدایت حرارتی خوب، پایداری شیمیایی مناسب و مقاومت خزشی بالا به شدت مورد مطالعه قرار گرفته است. تاکنون تلاش‌های قابل توجهی جهت بهبود فرآیند و کنترل ریزاساختار مولایت به علت وابستگی ویژگی‌های نهایی قطعات مولایتی به این

* عهده‌دار مکاتبات: داود قهرمانی

به طور غیر قابل مجزا از ویژگی‌های پودرهای آغازین (اندازه، شکل، شیمی و غیره) تاثیر می‌پذیرد [۱۳].



شکل ۱: مولایت طبیعی (الف) تصاویر سطح مقطع مولایت تشکیل شده در جزایر مال در اسکاتلندر، ب) تصاویر SEM مولایت تشکیل شده به صورت هیدروترمال در کوههای ایفل در آلمان و ج) دیاگرام فازی دوتایی $\text{Al}_2\text{O}_3-\text{SiO}_2$

به علت دمای بالا و شرایط تشکیل در فشار پایین، مولایت به ندرت در طبیعت یافت می‌شود. تنها جایی که مولایت به صورت طبیعی تشکیل شده است در جزایر مول در اسکاتلندر می‌باشد که در آنجا مخلوط شدن ماقمای مذاب با خاکسترها غنی از آلومینا باعث تشکیل مواد مولایت مانند شده است [۱]. در شکل ۱ مولایتها یکی که به صورت طبیعی به وجود آمده است مشاهده می‌شود. هدف اصلی تحقیقات و توسعه در زمینه کامپوزیت‌های زمینه مولایتی، بهبود تردی ذاتی این مواد و افزایش چرمگی آنها می‌باشد. اگرچه در طول دو دهه گذشته تلاش‌های زیادی جهت بهبود رفتار ترمومکانیکی کامپوزیت‌های زمینه مولایتی با استفاده از تقویت‌کننده‌های ذرهای و صفحه شکل (بویژه سیلیکون کاربید، آلفا آلومینا و زیرکونیا) صورت گرفته است ولی نتایج قابل توجهی حاصل نشده است. در سال‌های اخیر بیشتر تحقیقات بر روی کامپوزیت‌های زمینه مولایتی تقویت‌شده با فایبرهای پیوسته بویژه با استفاده از فایبرهای آلفا آلومینا و مولایت متمرکز شده است [۲]. ترکیبات مختلف مولایت، نسبت‌های متغیر آلومینا به سیلیس را نشان می‌دهد که مربوط به سری محلول جامد $\text{Al}_{4+4x}\text{Si}_{2-2x}\text{O}_{10-x}$ می‌باشد که محدوده تغییرات x بین حدود $0/9$ تا $0/2$ می‌باشد (مطابق با حدود ۵۵ تا ۹۰ درصد مولی آلومینا) [۳]. به علت ویژگی‌های کمک ذوبی متفاوت مذاب‌های آلومینوسیلیکاتی در بردارنده فلزات انتقالی که برای تهیه مولایت استفاده می‌شود، ریزساختار سرامیک‌های تولید شده می‌تواند به میزان قابل توجهی تغییر کند [۴]. بررسی‌های صورت گرفته نشان داده است که شکست اتفاق افتاده در آلومینای خالص بیشتر به صورت بین دانه‌ای می‌باشد در حالیکه در نمونه‌های کامپوزیت شده با مولایت میزان شکست درون دانه‌ای با افزایش مولایت افزایش می‌یابد. این نشان می‌دهد که مرزدانه‌ها با حضور مولایت دارای استحکام بالاتری نسبت به خود دانه می‌باشد [۵,۶]. چندین تحقیق نشان داده است که کاهش اندازه دانه در سرامیک‌های آلومینایی منجر به بهبود خواص مکانیکی می‌شود [۷-۱۲]. خواص سرامیک‌های پایه آلومینا به شدت به ریزساختار نهایی آنها بستگی دارد که

شدن. سپس دوغاب کامپوزیتی توسط خشک کن مجهز به همزن خشک شدن. در ادامه جهت متراکم سازی بهتر پودرهای گرانولهایی با استفاده از الکهای مش ۲۰ و ۵۰ تهیه شدند.

۲-۲-۲- متراکم سازی

جهت آماده سازی نمونه، پودرهای کامپوزیت در حالیکه رطوبت حدود ۵ درصد تنظیم شده بود با استفاده از پرس یک محوره با فشار پرس 100 MPa و به صورت میله هایی با طول 60 mm و عرض 15 mm پرس شدند. علت استفاده از فشار پرس پایین این فرآیند بوجود آمدن عیب لایه ای شدن در حین پرس در فشارهای بالا بود که به ناچار فشار پرس پایین انتخاب شد.

۳-۲-۲- پخت نمونه ها

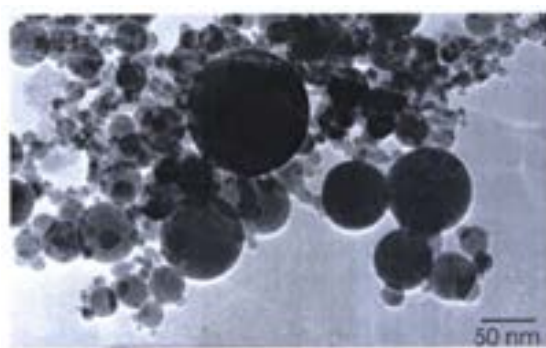
پخت قطعات خام با استفاده از کوره های معمولی و در اتمسفر هوا و در دمای 1600°C و با سرعت گرمایش $10^{\circ}\text{C}/\text{min}$ و به مدت زمان ماندگاری ۲ ساعت در حداکثر دما صورت گرفت. پس از پخت قطعات، دانسیته و تخلخل قطعات با استفاده از روش ارشمیدس اندازه گیری شد.

۴-۲-۲- بررسی ریز ساختار، شوک حرارتی و استحکام
جهت بررسی ریز ساختار، نمونه ها پس از پولیش و اجحرارتی با استفاده از میکروسکوپ الکترونی روبشی کمپانی Philips مدل XL30 مورد مطالعه قرار گرفتند. آنالیزهای XRF توسط دستگاه Magix Pro شرکت Unisantis Philips، آنالیزهای XRD توسط دستگاه XMD-300 و در محدوده زاویه پراش ۲۰ از 80° درجه و اندازه گیری ضرب انبساط حرارتی خطی نمونه ها توسط دستگاه دیلاتومتری DIL 402C شرکت آلمانی Netzsch صورت گرفت. آزمون شوک حرارتی از هر کد نمونه طبق استاندارد ۹۶-ASTM، C1171-96 و استحکام ASTM، C1211-98a خمثی نمونه ها طبق استاندارد STM، C179-85 و STM، C20-00 ASTM به ترتیب درصد جذب آب، درصد تخلخل ظاهری و دانسیته نمونه ها اندازه گیری شد.

۲- فعالیت های تجربی

۲-۱- مواد اولیه

نانوپودر آلفا آلمینا با محدوده اندازه ذرات $5-150 \text{ nm}$ (PL-A-AlO, Plasmachem, Germany) با سطح ویژه $98/5 \text{ m}^2\text{g}^{-1}$ (BET, Gemini2375, USA) و خلوص $23 \text{ m}^2\text{g}^{-1}$ درصد با فاز آلفا در این کار استفاده شد که تصاویر میکروسکوپ الکترونی عبوری در شکل ۲ مشاهده می شود.



شکل ۲: TEM نانو پودر Al_2O_3 .

میکرو آلمینا (MR70, Martinswerk group, Germany) با متوسط اندازه ذرات $7-5 \text{ }\mu\text{m}$ میکرون و سطح ویژه $2 \text{ m}^2\text{g}^{-1}$ و خلوص $99/8$ درصد با فاز آلفا و نیز کائولن WBB انگلستان با محدوده اندازه ذرات $10-100 \text{ }\mu\text{m}$ میکرون با آنالیز شیمیایی مشخص شده در جدول ۱ جهت تهیه کامپوزیت آلمینا مولایت استفاده شد.

جدول ۱: آنالیز شیمیایی کائولن WBB.

| محتوی | SiO_2 | CaO | K_2O | Al_2O_3 | SO_3 | Fe_2O_3 | TiO_2 | P_2O_5 | LOI |
|-------|----------------|--------------|----------------------|-------------------------|---------------|-------------------------|----------------|------------------------|-------|
| درصد | ۴۷/۵۹ | ۰/۱۴ | ۱/۳۱ | ۳۳/۵۴ | ۰/۱۶ | ۱/۰۹ | ۰/۸۳ | ۰/۱۵ | ۱۵/۲۰ |

۲-۲-۲- روش انجام کار

۲-۱-۲-۲- آماده سازی ترکیبات

جهت آماده سازی ترکیبات، پودرهای آلمینا و کائولن با نسبت استوکیومتری درون کاپهای آلمینایی با محیط اتانول ریخته شدند و با استفاده از گلوله های آلمینایی به مدت ۵ دقیقه بالمیل

در نتیجه استحکام بعد از شوک حرارتی نمونه‌ها افزایش می‌یابد.

جدول ۲: دانسیته ارشمیدس و درصد تخلخل نمونه‌های پخت شده.

| نمونه | درصد تخلخل | دانسیته ارشمیدس (g/cm ³) |
|-------|------------|--------------------------------------|
| A | ۸/۳ | ۳/۴۸ |
| E | ۵/۴ | ۳/۵۴ |
| F | ۳/۱ | ۳/۵۹ |

با توجه به نتایج بدست آمده از الگوی پراش اشعه ایکس و دیلاتومتری (جدول ۴) می‌توان نتیجه گرفت که افزایش استحکام نمونه‌ها قبل و بعد از شوک حرارتی به علت افزایش درصد فاز مولایت با افزایش نانوآلومینا به همراه کاهش ضریب انبساط حرارتی کامپوزیت می‌باشد. همچنین افزایش استحکام خمثی در دمای پایین را می‌توان به افزایش دانسیته و کاهش تخلخل با افزودن نانوذرات نسبت داد.

جدول ۳: استحکام خمثی قبل از شوک و بعد از شوک حرارتی.

| نمونه | استحکام قبل از شوک (kg/cm ³) | استحکام بعد از شوک حرارتی (kg/cm ³) |
|-------|--|---|
| A | ۳۶۷/۹۱ | ۳۴۳/۴۷ |
| E | ۳۷۱/۳۷ | ۳۴۷/۱۱ |
| F | ۴۲۲/۹۶ | ۳۶۰/۱۵ |

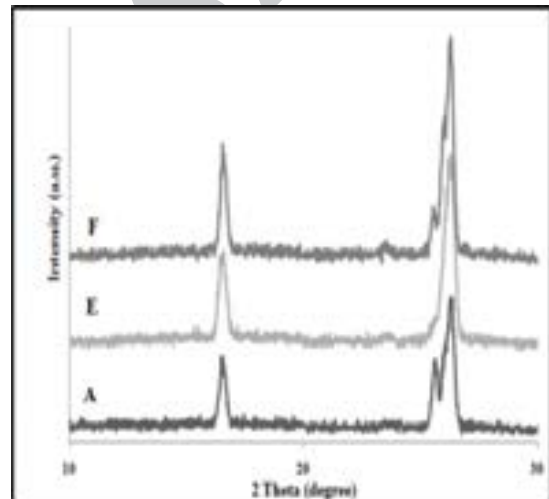
جدول ۴: ضریب انبساط حرارتی خطی نمونه‌ها در محدوده دمایی ۵۰-۵۰۰ و ۵۰۰-۱۰۰۰ درجه سانتیگراد (با واحد بر °C).

| نمونه | ضریب انبساط در محدوده ۵۰-۵۰۰ | ضریب انبساط در محدوده ۵۰-۸۰۰ | ضریب انبساط در محدوده ۵۰-۱۰۰۰ |
|-------|------------------------------|------------------------------|-------------------------------|
| A | ۵۴/۵۳×۱۰ ^{-۷} | ۵۶/۸۳×۱۰ ^{-۷} | ۵۹/۲۴×۱۰ ^{-۷} |
| E | ۵۳/۱۷×۱۰ ^{-۷} | ۵۶/۱۶×۱۰ ^{-۷} | ۵۸/۷۴×۱۰ ^{-۷} |
| F | ۴۹/۶۴×۱۰ ^{-۷} | ۵۵/۰۷×۱۰ ^{-۷} | ۵۸/۰۳×۱۰ ^{-۷} |

تصاویر میکروسکوپ الکترونی روبشی (SEM) نمونه‌های پخت شده در دمای ۱۶۰۰ °C در شکل‌های ۴ تا ۶ مشاهده می‌شود. همانطور که دیده می‌شود با افزایش

۳- نتایج و بحث

الگوی پراش اشعه ایکس (XRD) نمونه A (کامپوزیت حاوی آلومینای میکرونی)، E (کامپوزیت حاوی ترکیب آلومینای نانویی و میکرونی) و F (کامپوزیت حاوی نانوآلومینا) در شکل ۳ نشان داده شده است. همانطور که در شکل به طور واضح مشخص است، پیک مربوط به آلفا آلومینا در هیچ کدام از نمونه‌ها دیده نمی‌شود. همچنین نتایج الگوی پراش اشعه ایکس نشان داد که با افزایش درصد نانوآلومینا در ترکیب کامپوزیت، شدت پیک مولایت افزایش یافته است که این افزایش شدت پیک را می‌توان به افزایش درصد مولایت به علت واکنش کامل Al_2O_3 با SiO_2 نسبت داد.



شکل ۳: الگوی پراش اشعه ایکس نمونه‌های A، E و F

دانسیته ارشمیدس و درصد تخلخل نمونه‌های پخت شده در جدول ۲ نشان داده شده است. همانطور که مشاهده می‌شود با افزایش درصد نانوآلومینا دانسیته و تخلخل به ترتیب افزایش و کاهش می‌یابد. افزایش دانسیته و کاهش تخلخل را می‌توان به توانایی سینترینگ بالاتر نانوذرات به علت انرژی سطحی بیشتر در مقایسه با پودرهای میکرومتری در دمای یکسان نسبت داد.

استحکام خمثی سه نقطه‌ای قبل و بعد از شوک حرارتی نمونه‌ها نیز در جدول ۳ ارائه شده است. همانطور که مشاهده می‌شود با افزایش نانوآلومینا استحکام نمونه‌ها و

همچنین از تصاویر میکروسکوپ الکترونی نمونه‌های حاوی نانو آلومینا در مقایسه با میکرو آلومینا می‌توان نتیجه گرفت که با افزودن نانوآلومینا به کائولن نسبت طول به عرض دانه‌های مولایت افزایش می‌یابد که این پدیده می‌تواند تاثیر بسزایی بر روی بهبود استحکام و مقاومت به شوک حرارتی نمونه‌های نهایی داشته باشد. این بحث و تئوری با نتایج بدست آمده از خواص مکانیکی نمونه‌های مولایت در این کار مطابقت خوبی دارد. علت بهبود در ریزساختار و هموژنیتی مولایت تشکیل شده را می‌توان به بهبود فرآیند سینترینگ به علت سطح ویژه بالا آلومینا و تسريع واکنش با سیلیس موجود در کائولن نسبت داد. ذرات آلومینا می‌توانند به عنوان محل جوانه‌زنی برای تشکیل مولایت عمل کنند. بنابراین با افزودن نانوآلومینا که در مقایسه با همان مقدار میکروآلومینا دارای تعداد ذرات بیشتری می‌باشد، محل‌های جوانه‌زنی مولایت افزایش می‌یابد و در نتیجه میزان مولایت تشکیل شده افزایش می‌یابد. این نتایج با نتایج بدست آمده از الگوی پراش اشعه ایکس مطابقت دارد.

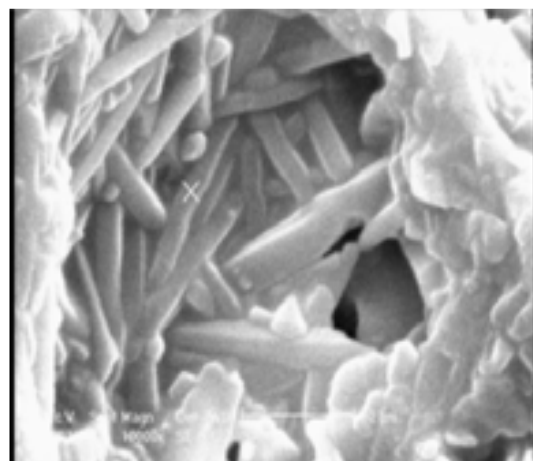
۴- نتیجه‌گیری

کامپوزیت آلومینا مولایت با حضور نانوذرات آلومینا تهیه شد. دانسیته و تخلخل نمونه‌ها با افزایش درصد نانوآلومینا به ترتیب افزایش و کاهش یافت. نتایج الگوی پراش اشعه ایکس (XRD) نشان داد که با افزایش درصد نانوآلومینا درصد مولایت افزایش می‌باشد. نتایج بدست آمده از خواص مکانیکی افزایش استحکام و شوک پذیری نمونه‌ها با افزایش درصد نانوآلومینا را نشان می‌دهد که ناشی از افزایش درصد مولایت و کاهش ضریب انبساط حرارتی کامپوزیت می‌باشد.

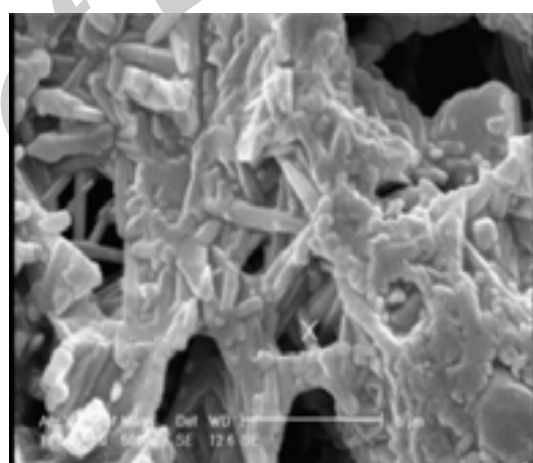
مراجع

- [1] M. Schmucker, H. Schneider, *J. Am. Ceram. Soc.*, **88**, 2005, 488.
- [2] H. Schneider, J. Schreuer, B. Hildmann, *J. Eur. Ceram. Soc.*, **28**, 2008, 329.
- [3] R.X. Fischer, H. Schneider, D. Voll, *J. Eur. Ceram. Soc.*, **16**, 1996, 109.
- [4] H. Schneider, *Weinheim*, **52**, 2005, 70.
- [5] C. Aksel, *Mater. Letters*, **57**, 2002, 992.
- [6] H.H. Luo, F.C. Zhang, S.G. Roberts, *Mater. Sci. Eng. A*, **478**, 2008, 270.
- [7] J.F. Bartolome, C.F. Gutierrez-Gonzalez, R. Torrecillas, *Compos. Sci. Technol.*, **68**, 2008, 1392.

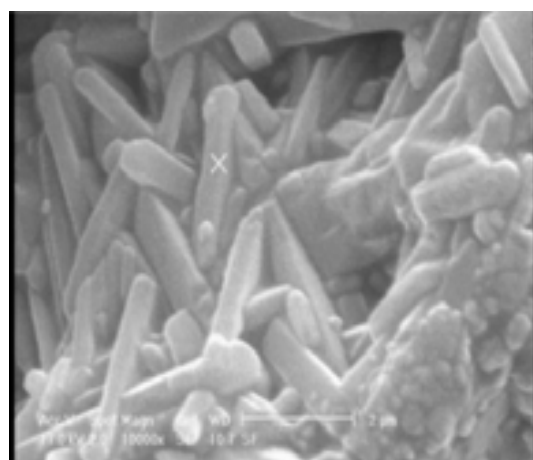
درصد نانوآلومینا مقدار و اندازه مولایت‌ها افزایش می‌یابد. از طرف دیگر با افزایش درصد نانوآلومینا شاهد افزایش یکنواختی در ساختار و شکل فاز مولایت می‌باشیم.



شکل ۴: تصاویر میکروسکوپ الکترونی رویشی نمونه A.



شکل ۵: تصاویر میکروسکوپ الکترونی رویشی نمونه E.



شکل ۶: تصاویر میکروسکوپ الکترونی رویشی نمونه F.

- [11] V. Viswanathan, T. Laha, K. Balani, A. Agarwal, S. Seal, *Mater. Sci. Eng. R.*, **54**, 2006, 121.
- [12] M.G. Lines, *J. Alloys Compd.*, **449**, 2008, 242.
- [13] J. Li, Y. Pan, F. Qiu, L. Huang, J. Guo, *Mater. Sci. Eng. A*, **435**, 2006, 611.
- [8] M.A. Meyers, A. Mishra, D.J. Benson, *Prog. Mater. Sci.*, **51**, 2006, 427.
- [9] A. Mukhopadhyay, *Int. Mater. Rev.*, **52**, 2007, 257.
- [10] V. Soman, S.J. Kalita, *J. Am. Ceram. Soc.*, **90**, 2007, 2372.

Archive of SID